

Modelado y simulación del transporte de la luz en la atmósfera

Modeling and Simulation of Light Transport in the Atmosphere

Autor: Pedro Andrés Gavín Murillo

Director: Adrián Jarabo Torrijos



NASA







VozPopuli







NASA

¿Por qué esto es importante?



“The Good Dinosaur”

(c) 2015, Pixar/ Disney



"The Good Dinosaur"

(c) 2015, Pixar/ Disney



“The Lion King”

(c) 2019, Disney

Vínculo de honor

Navega de vuelta a Fornburg.



“Assassin's Creed: Valhalla”

(c) 2020, Ubisoft



“Microsoft Flight Simulator”

(c) 2020, Microsoft



NASA



Architectural Visualization

Image courtesy of Groupe Legendre



Architectural Visualization

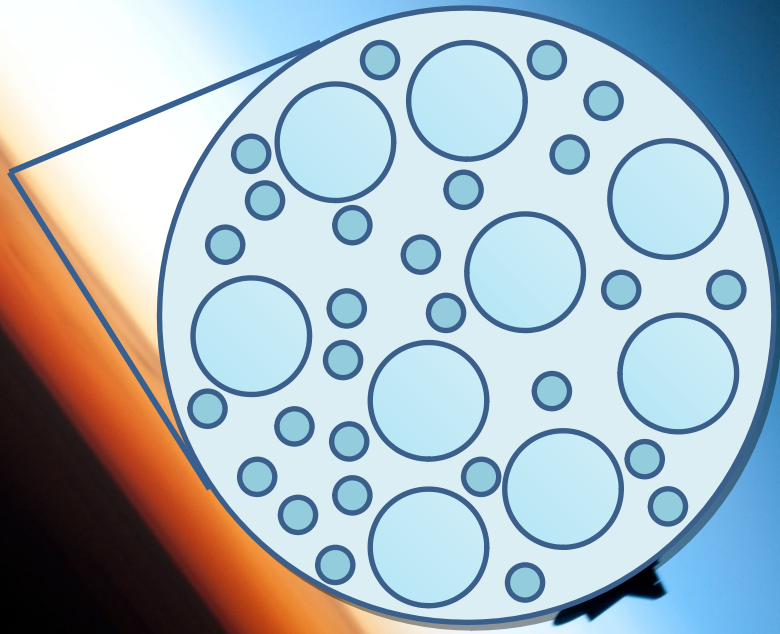
Zaha Hadid Architects | ZHVR Group



Architectural Visualization

Rag3DVIZ

¿Qué es la atmósfera?

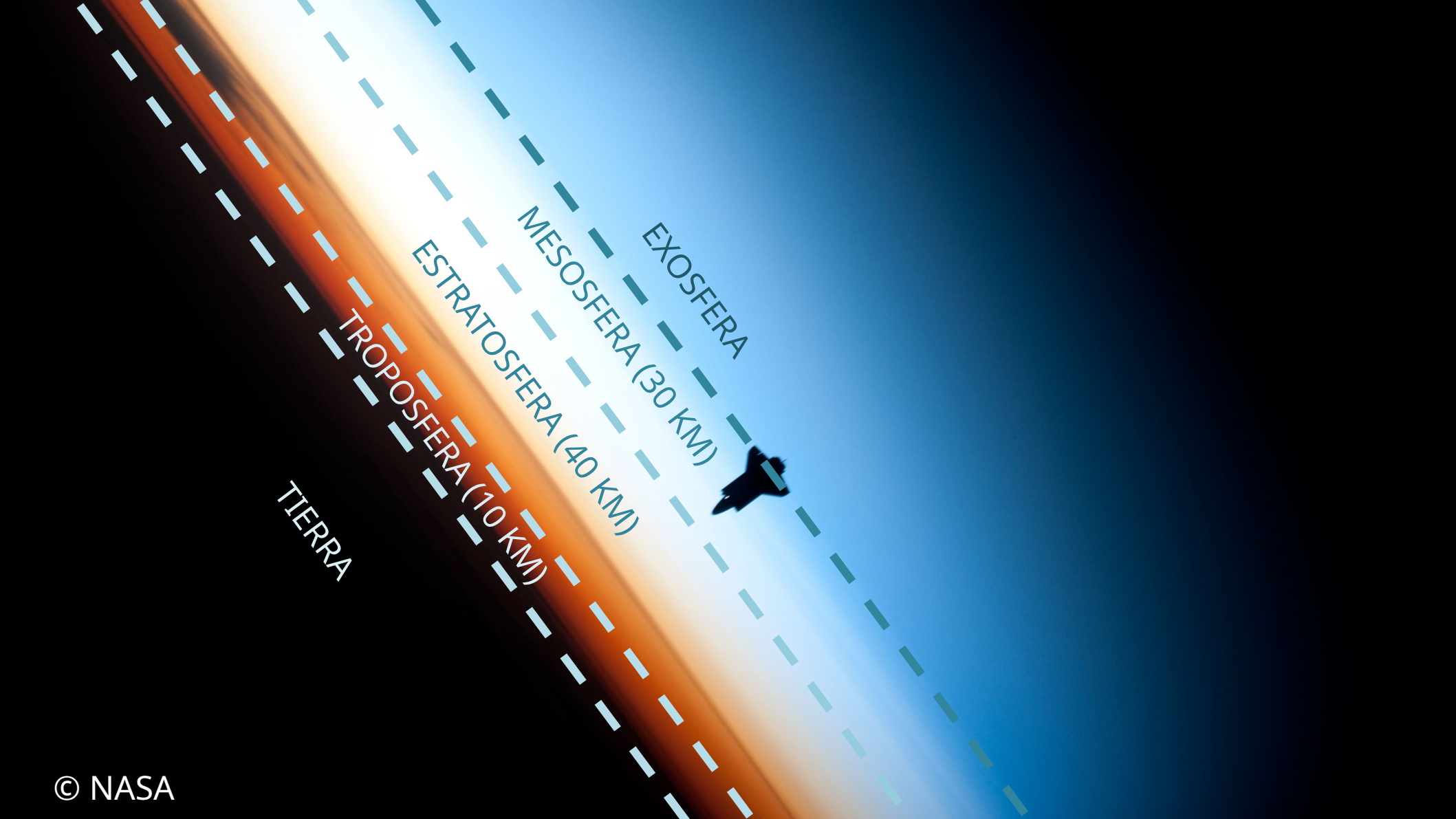


1. Moléculas

- N, O₂...
- Ozono (O₃)

2. Aerosoles

- Agua
- Arena, Sal
- Humo

A diagram of Earth's atmosphere layers. The layers are labeled from bottom to top: TIERRA, TROPOSFERA (10 KM), ESTRATOSFERA (40 KM), MESOSFERA (30 KM), and EXOSFERA. A silhouette of a satellite is shown in the upper atmosphere. The background is a gradient from orange/red near the surface to blue at the top, with dashed lines separating the layers.

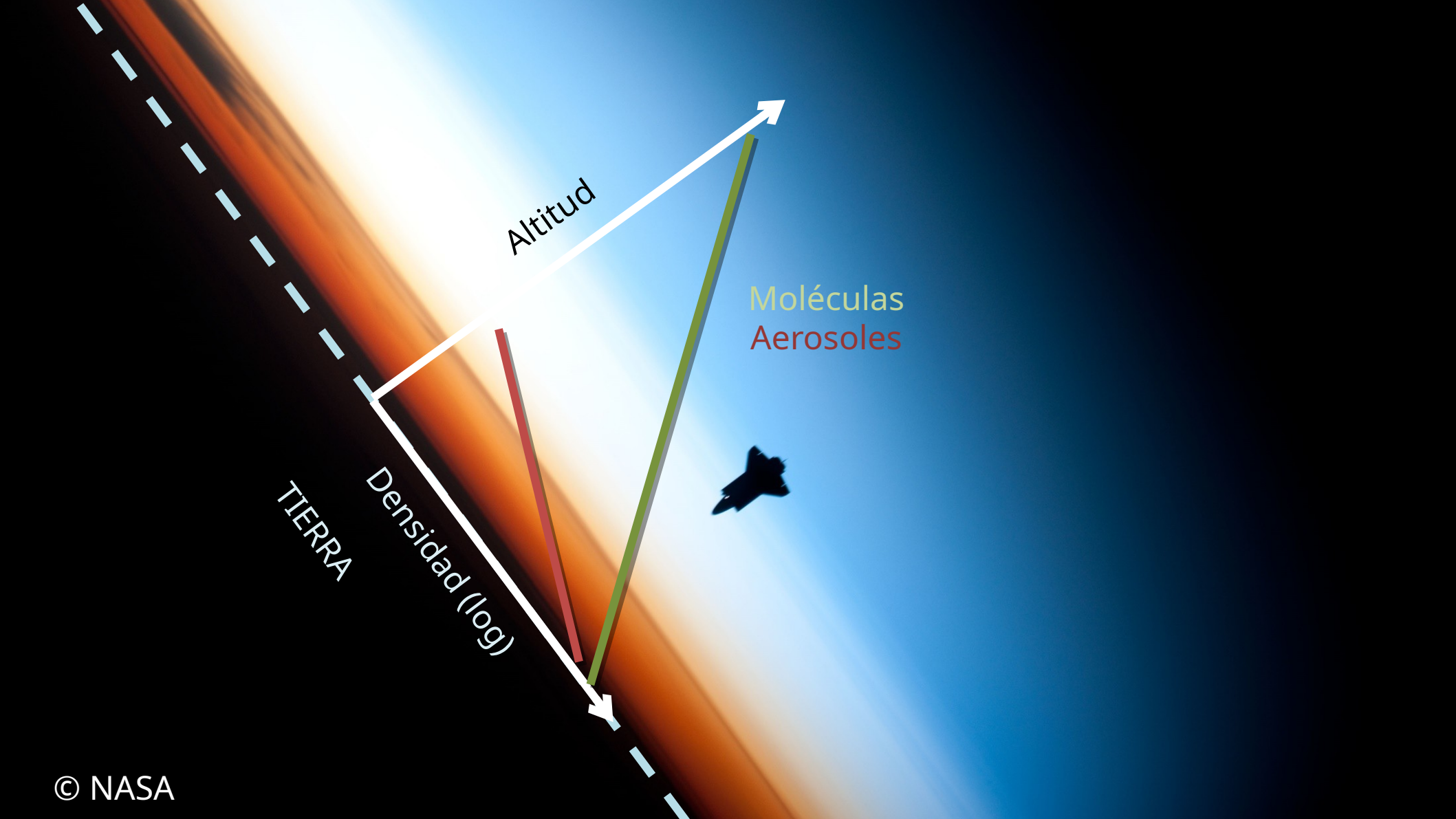
TIERRA

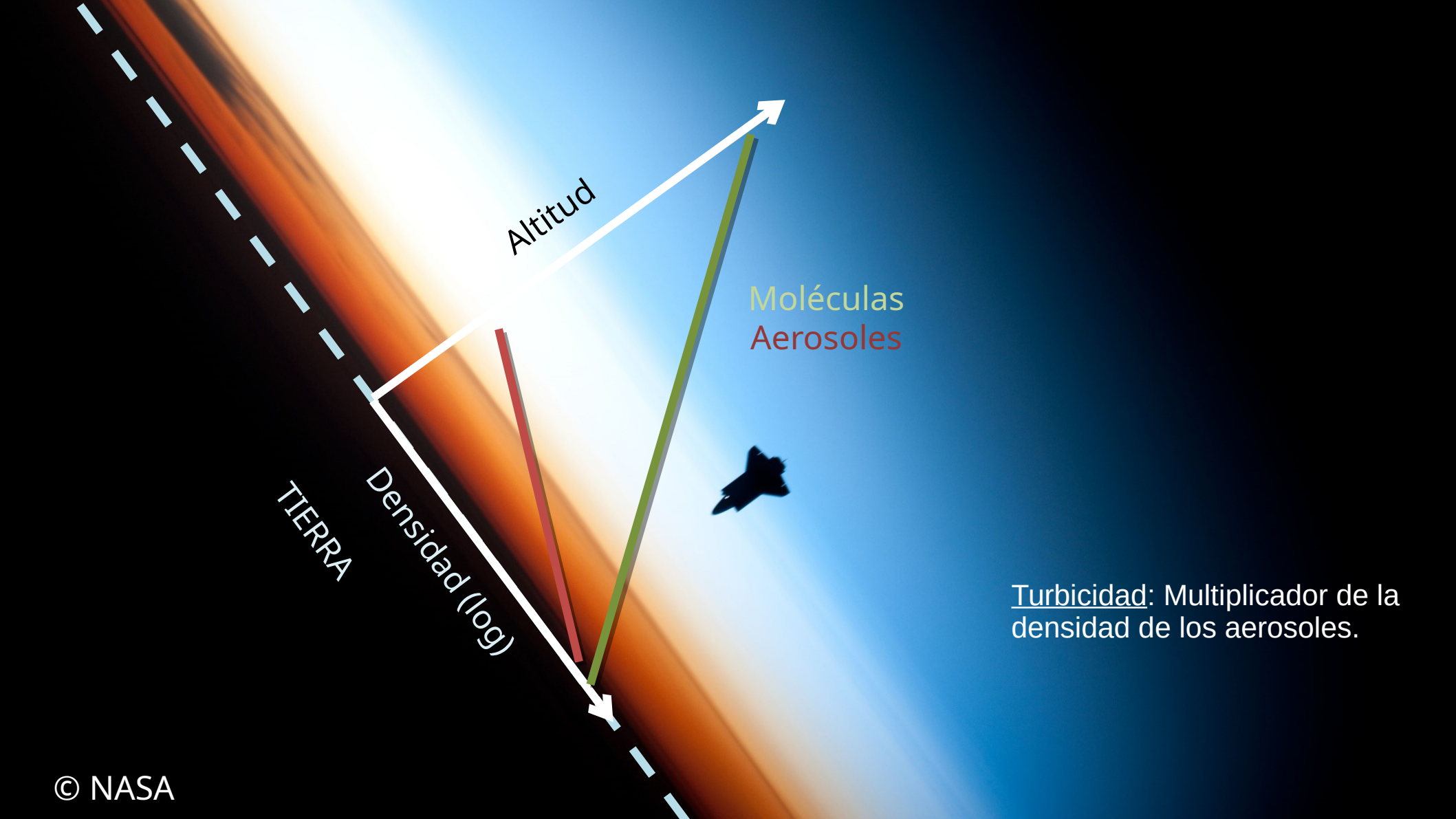
TROPOSFERA (10 KM)

ESTRATOSFERA (40 KM)

MESOSFERA (30 KM)

EXOSFERA





Altitud

Moléculas
Aerosoles

TIERRA

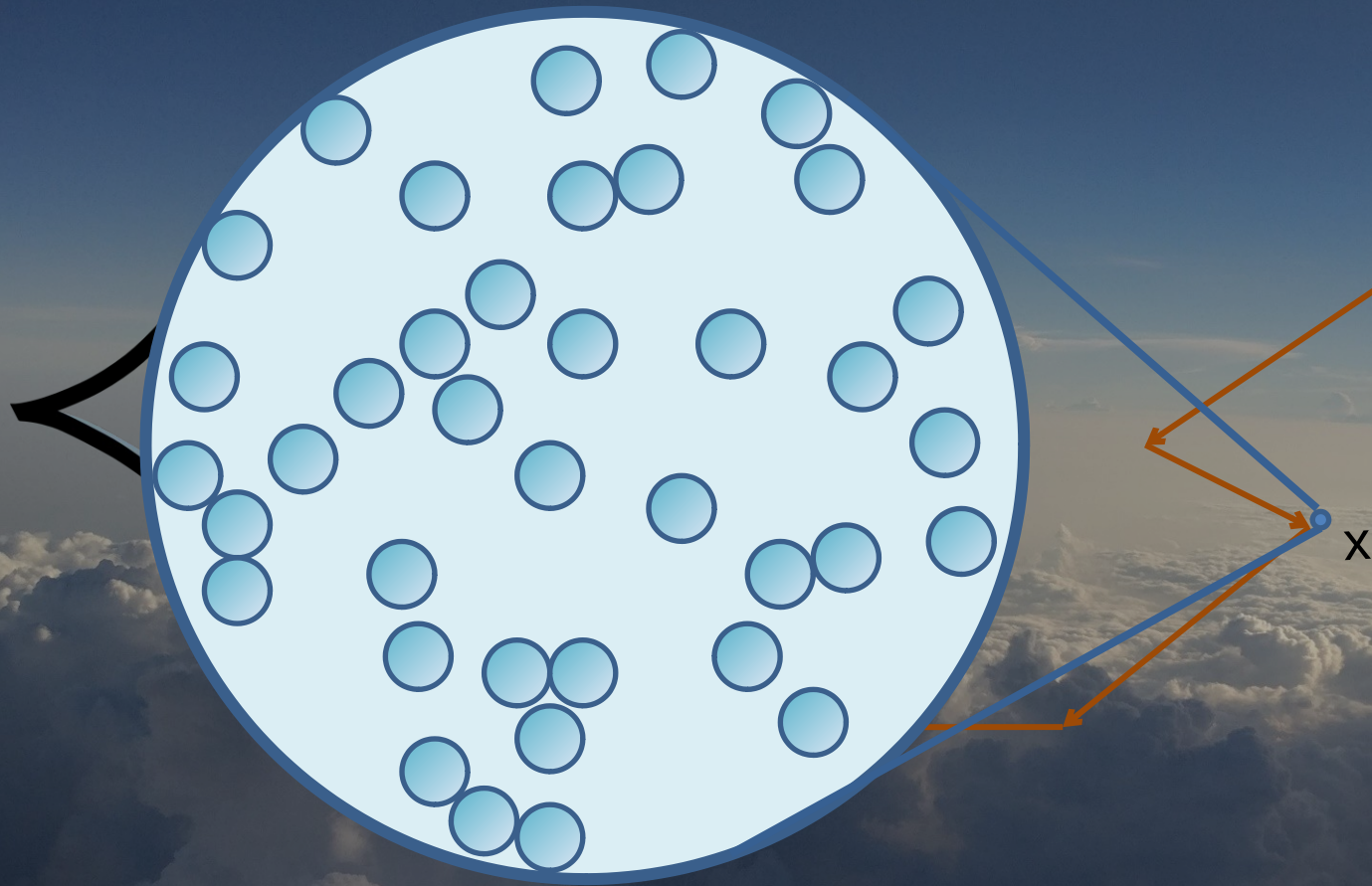
Densidad (log)

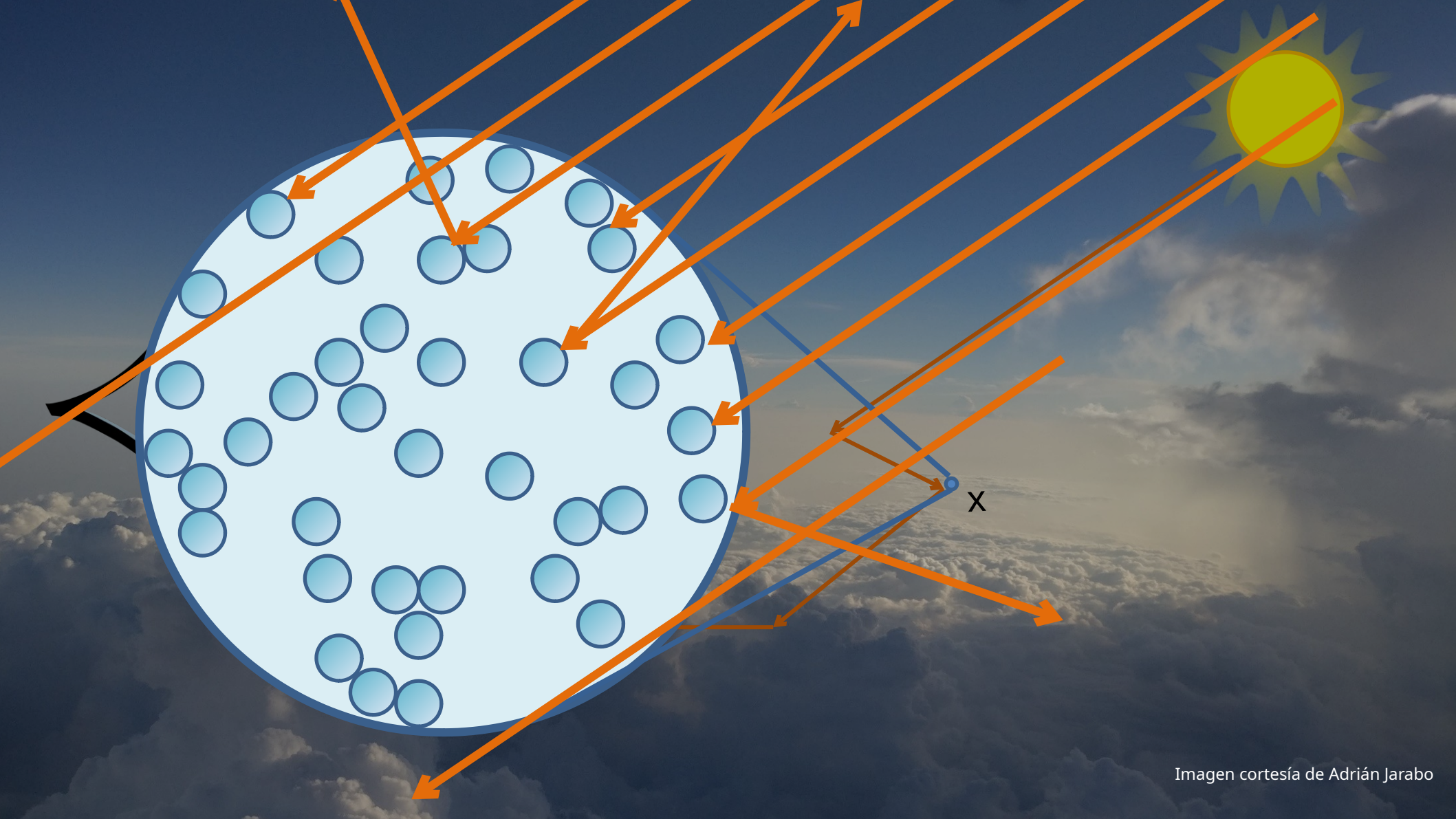
Turbicidad: Multiplicador de la densidad de los aerosoles.

Transporte de la luz en la atmósfera

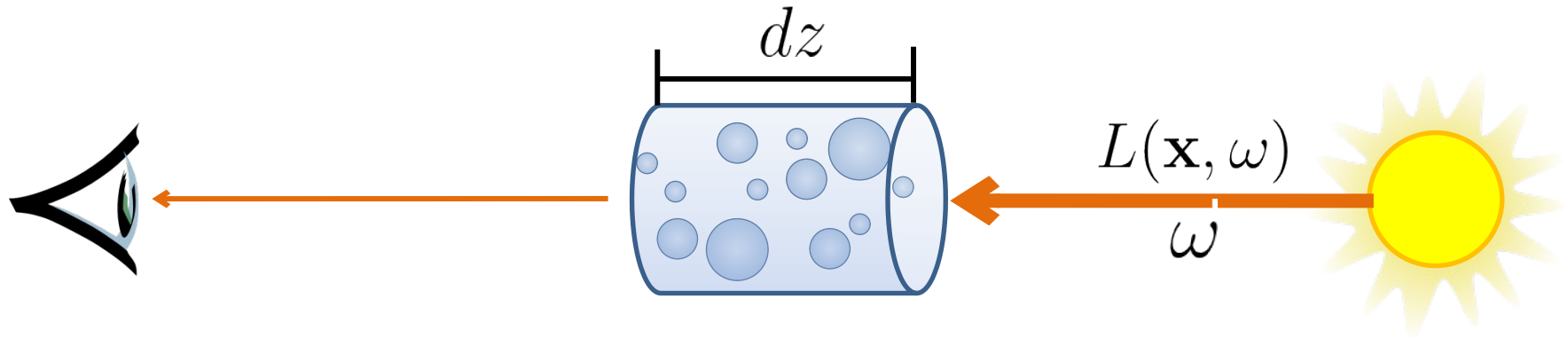


Imagen cortesía de Adrián Jarabo





Evento de absorción

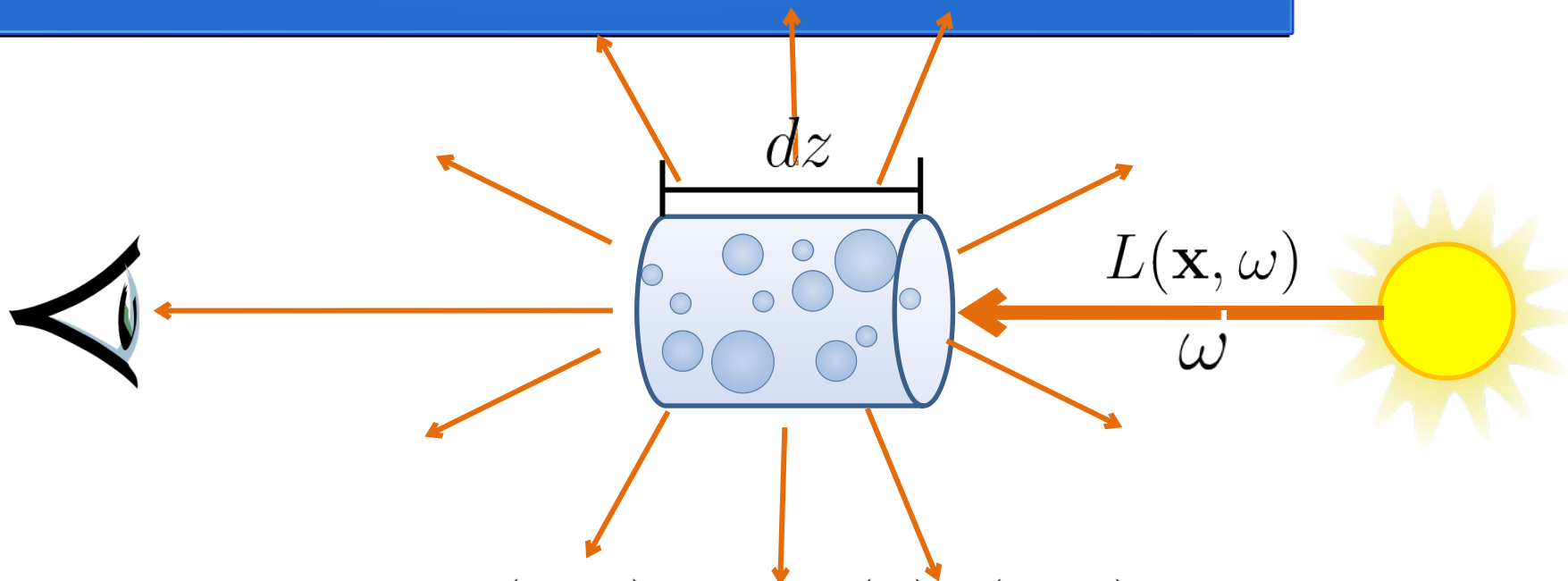


$$dL(\mathbf{x}, \omega) = -\mu_a(\mathbf{x})L(\mathbf{x}, \omega)dz$$

$\mu_a(\mathbf{x})$: Coeficiente de absorción [m^{-1}]

Sección transversal
 \times
Concentración de partículas

Evento de out-scattering

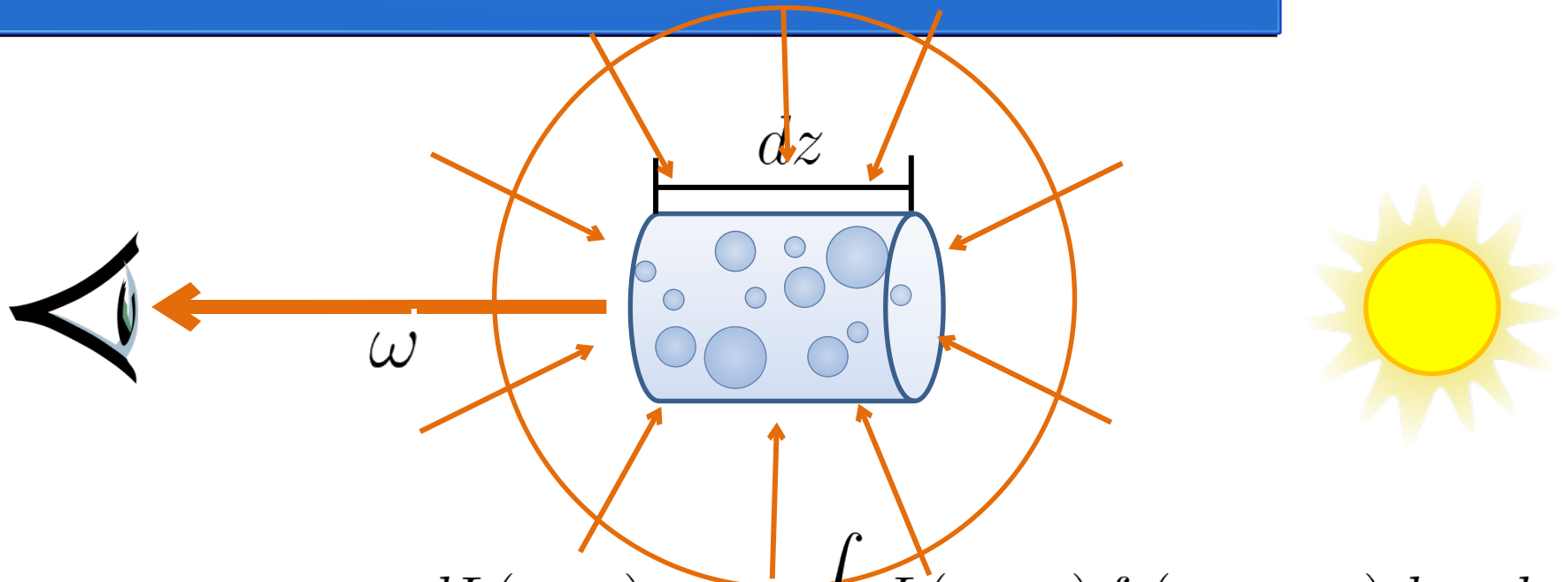


$$dL(\mathbf{x}, \omega) = -\mu_s(\mathbf{x})L(\mathbf{x}, \omega)dz$$

$\mu_s(\mathbf{x})$: Coeficiente de scattering [m^{-1}]

Sección transversal
 \times
Concentración de partículas

Evento de in-scattering



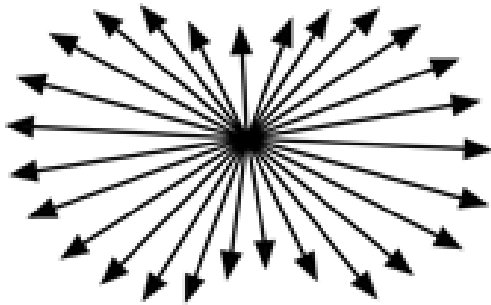
$$dL(\mathbf{x}, \omega) = \mu_s \underbrace{\int_{\Omega} L(\mathbf{x}, \omega_i) f_s(\mathbf{x}, \omega_i, \omega) d\omega_i}_{L_i(\mathbf{x}, \omega)} dz$$

$f_s(\mathbf{x}, \omega_i, \omega)$: Función de fase [sr⁻¹]

Funciones de fase

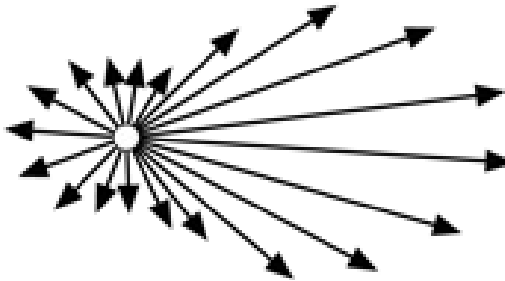
- Moléculas

Rayleigh Scattering



- Aerosoles

Mie Scattering



Mie Scattering,
larger particles

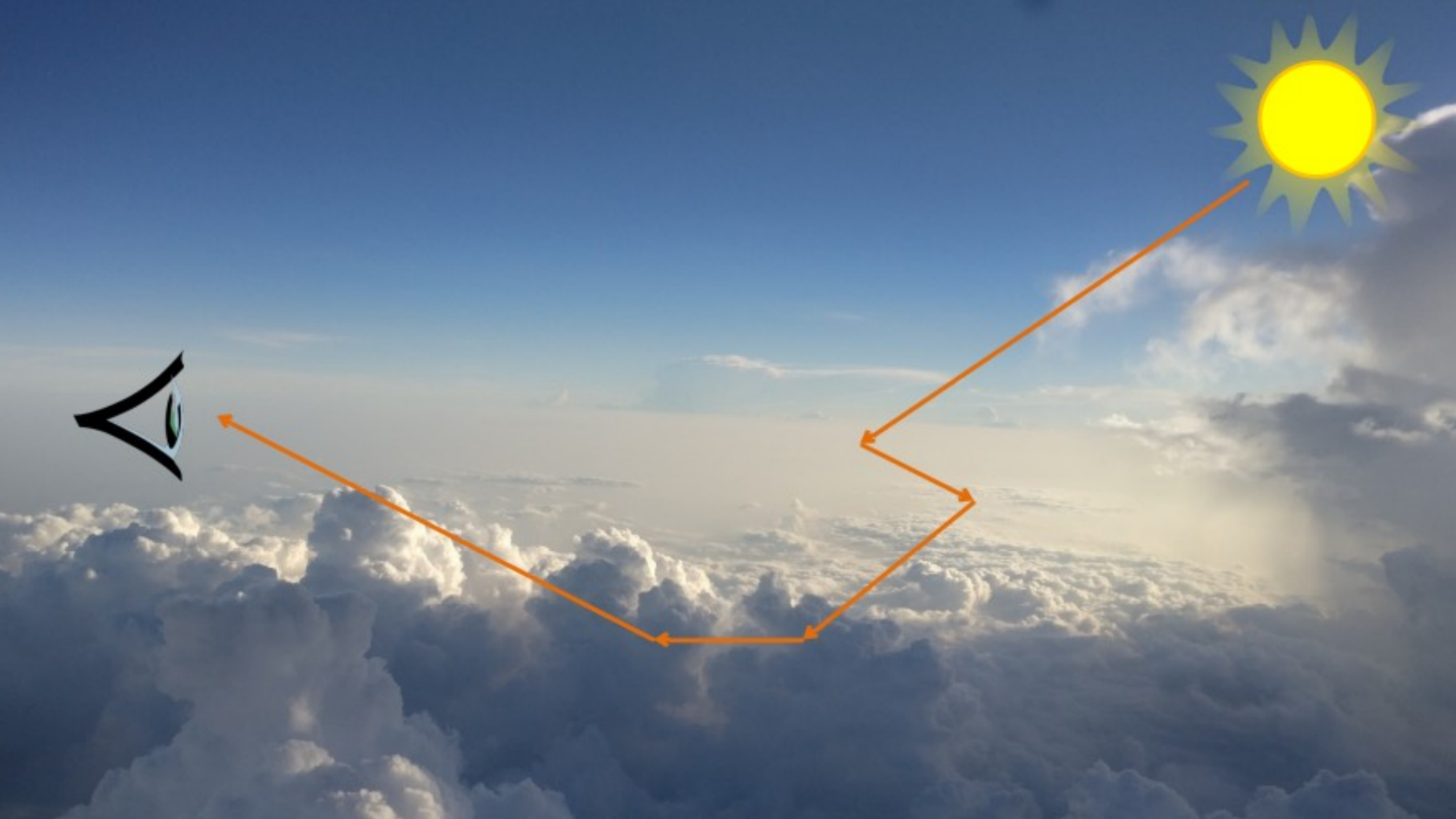


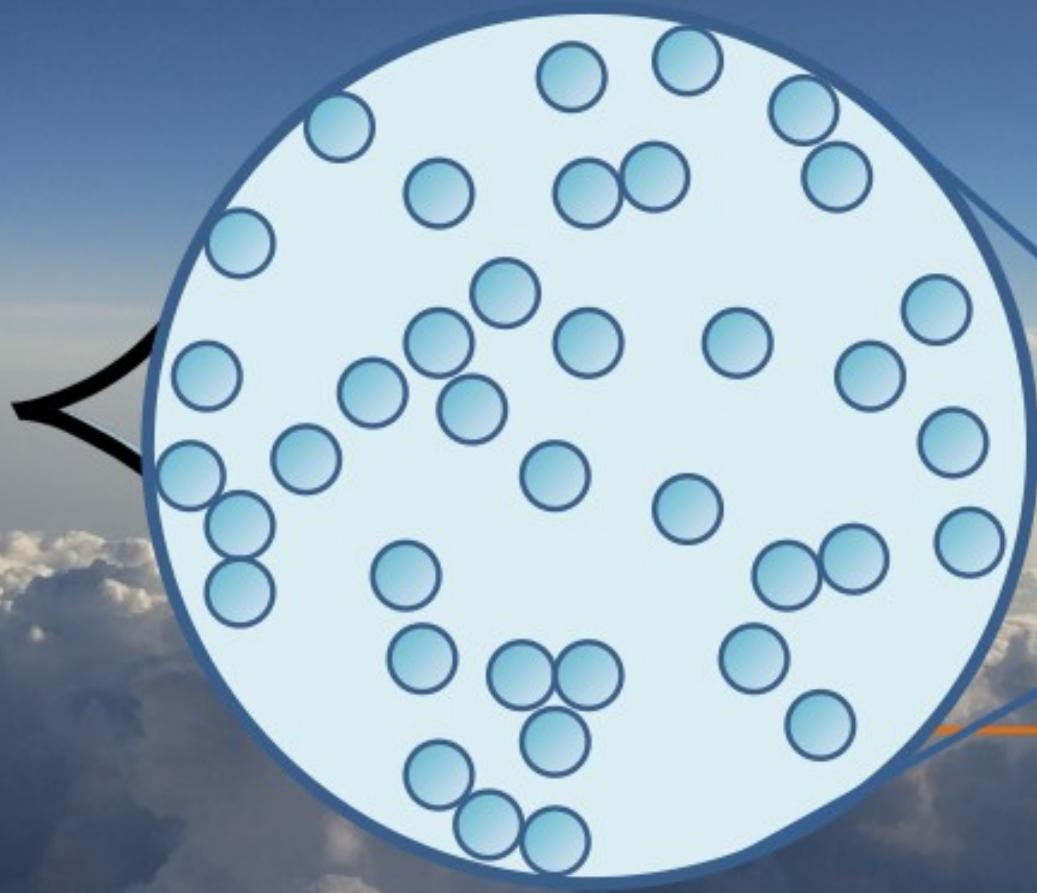
→ Direction of incident light

Calculando la radiancia espectral

$$\begin{aligned}(\vec{\omega}_o \cdot \nabla) L(\mathbf{x}, \vec{\omega}_o, \lambda) &= -\mu_t(\mathbf{x}, \lambda) L(\mathbf{x}, \vec{\omega}_o, \lambda) \\ &+ \mu_s(\mathbf{x}, \lambda) \int_{S^2} f(\mathbf{x}, \vec{\omega}_i \rightarrow \vec{\omega}_o, \lambda) L(\mathbf{x}, \vec{\omega}_i, \lambda) d\vec{\omega}_i\end{aligned}$$

Recapitulando





1. Moléculas
 - N, O₂...
 - Ozono (O₃)
2. Aerosoles
 - Agua
 - Arena, Sal
 - Humo

Atmósfera terrestre

- Medio participativo heterogéneo compuesto por:
 - Moléculas (N, O₂, Ozono...)
 - Aerosoles (Agua, Arena, Sal, Humo...)
- Existe una dependencia espacio-temporal.
- Transporte de la luz modelado mediante la RTE (Radiative Transfer Equation).
- Partículas definidas a partir de sus parámetros ópticos.

Implementación

Modelos existentes

- Modelos explícitos: Nishita y col. [93,95], O'Neil [05], Jensen y col. [01], Haber y col. [05], Gutierrez y col. [04], Kutz [12].
 - Radiancia precalculada: Bruneton y Neyret [08], Elek y Kmoch [10].
 - Dependiente de la fecha, posición geográfica y bioma: **Guimera y col. [18]**.
- Modelos analíticos: Perez y col. [93], Preetham y col. [99], Wilkie y col. [04], Hosek y Wilkie [12, 13].

Modelo elegido

- Modelo de Guimera y col. [18]
 - Dispersión molecular de Rayleigh en función de la altitud.
 - Absorción molecular del ozono en función de la altitud y de la fecha.
 - Modelo de aerosoles en función de la altitud y del entorno bioclimático (*Background, Desert-Dust, Maritime-Clean, Maritime-Mineral, Polar-Antartic, Polar-Artic, Remote-Continental, Rural y Urban*).

Mitsuba 2

- Motor de render open-source.
- Implementa algoritmos de transporte de luz utilizando radiancia espectral.
- Escrito en C++20 bajo un paradigma de orientación a objetos.
- Compuesto por una estructura de clases genéricas de las que heredan diferentes plugins.

¿Por qué Mitsuba 2?

- Porque es eficiente y vectorizable.
- Porque es un render espectral.
- Porque utiliza rendering diferenciable.
- Porque permite rendering polarizable.

Volume reconstruction

Reconstruct volume density from multiview setup (accounting for scattering)

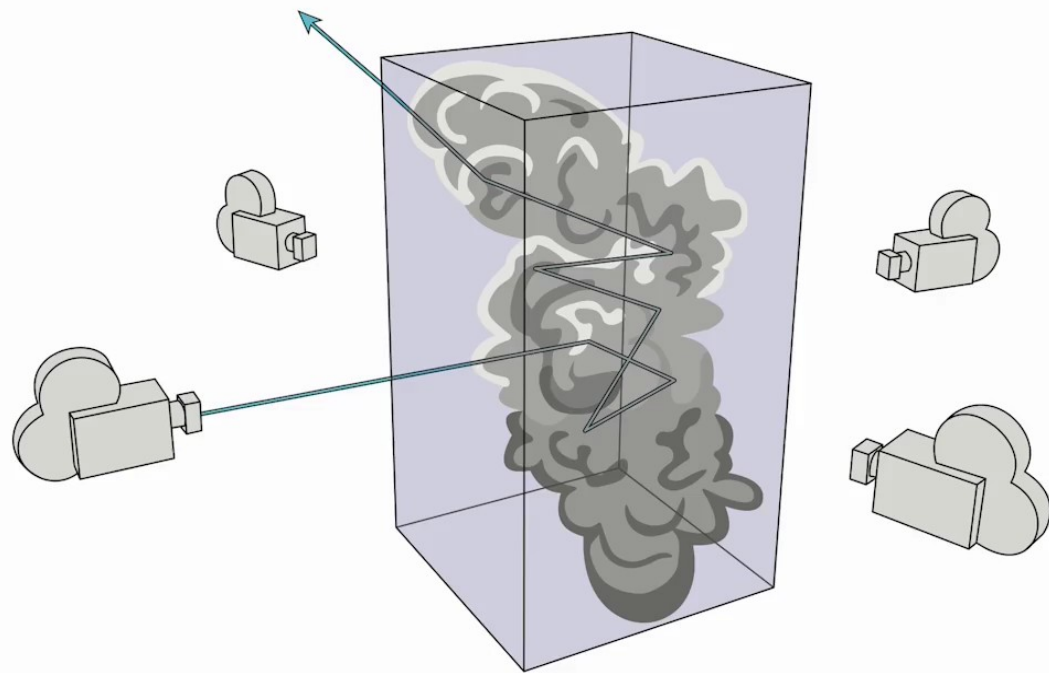


Diagrama de clases

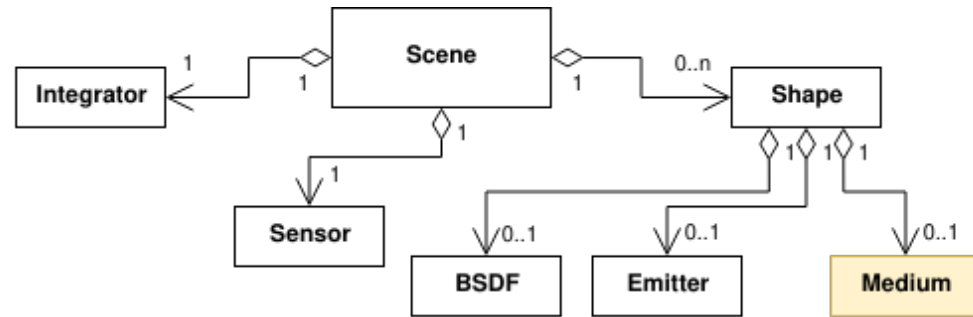
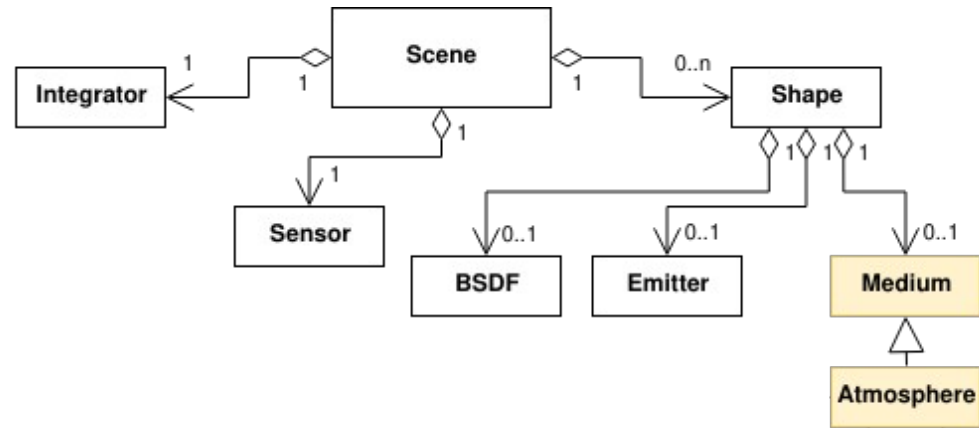


Diagrama de clases



Path tracing volumétrico



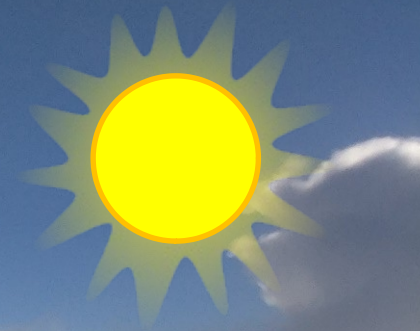


1. Calcular la distancia del rayo en base a la extinción hasta que se produzca un evento.



1. Calcular la distancia del rayo en base a la extinción hasta que se produzca un evento.

Cuanto mayor sea la extinción, mayor será la probabilidad de que ocurra un evento en una distancia menor.



1. Calcular la distancia del rayo en base a la extinción hasta que se produzca un evento.

Cuanto mayor sea la extinción, mayor será la probabilidad de que ocurra un evento en una distancia menor.

```
extinction = ozone_absorption +  
aerosol_absorption +  
rayleigh_scattering +  
aerosol_scattering;
```



1. Calcular la distancia del rayo en base a la extinción hasta que se produzca un evento.

Cuanto mayor sea la extinción, mayor será la probabilidad de que ocurra un evento en una distancia menor.

```
extinction = ozone_absorption +  
aerosol_absorption +  
rayleigh_scattering +  
aerosol_scattering;
```

Coefficientes de aerosoles, calculados con MiePlot a partir de “Guide to Global Aerosol Models”.

```
// row[0] = wavelength  
// row[1] = cross section absorption coefficient  
// row[2] = cross section scattering coefficient  
const static std::array<std::array<float, 1001>, 3> tabulatedValues;
```

1. Calcular la distancia del rayo en base a la extinción hasta que se produzca un evento.

Cuanto mayor sea la extinción, mayor será la probabilidad de que ocurra un evento en una distancia menor.

```
extinction = ozone_absorption +  
aerosol_absorption +  
rayleigh_scattering +  
aerosol_scattering;
```



Coefficientes de moléculas, extraídos de:

- Rayleigh: U.S. Standard Atmosphere [76], Bucholtz [95].
- Ozono: Ramanathan y Kulkarni [53], Dütsch [74], Gorshelev y col. [14].

Coefficientes de aerosoles, calculados con MiePlot a partir de “Guide to Global Aerosol Models”.

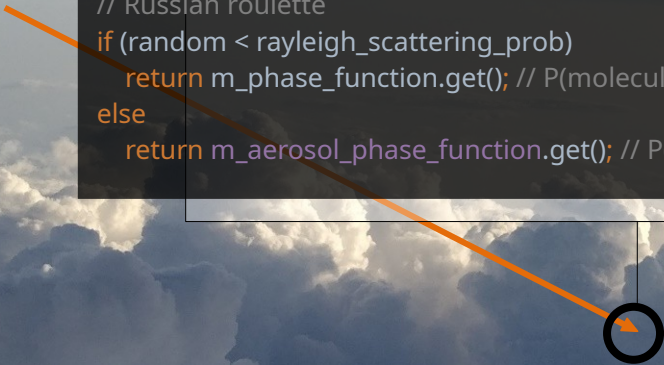
```
// row[0] = wavelength  
// row[1] = cross section absorption coefficient  
// row[2] = cross section scattering coefficient  
const static std::array<std::array<float, 1001>, 3> tabulatedValues;
```

1. Calcular la distancia del rayo en base a la extinción hasta que se produzca un evento.
2. Calcular la nueva dirección del rayo en base a la función de fase aplicada.



1. Calcular la distancia del rayo en base a la extinción hasta que se produzca un evento.
2. Calcular la nueva dirección del rayo en base a la función de fase aplicada.

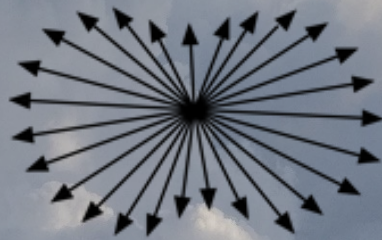
```
rayleigh_scattering_prob = rayleigh_scattering / (rayleigh_scattering + aerosol_scattering);  
  
// Russian roulette  
if (random < rayleigh_scattering_prob)  
    return m_phase_function.get(); // P(molecular) = [0, rayleigh_scattering_prob)  
else  
    return m_aerosol_phase_function.get(); // P(aerosol) = [rayleigh_scattering_prob, 1)
```



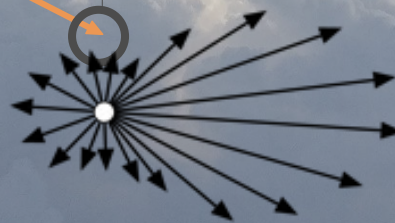
1. Calcular la distancia del rayo en base a la extinción hasta que se produzca un evento.
2. Calcular la nueva dirección del rayo en base a la función de fase aplicada.

```
rayleigh_scattering_prob = rayleigh_scattering / (rayleigh_scattering + aerosol_scattering);  
  
// Russian roulette  
if (random < rayleigh_scattering_prob)  
    return m_phase_function.get(); // P(molecular) = [0, rayleigh_scattering_prob)  
else  
    return m_aerosol_phase_function.get(); // P(aerosol) = [rayleigh_scattering_prob, 1)
```

Rayleigh Scattering



Mie Scattering



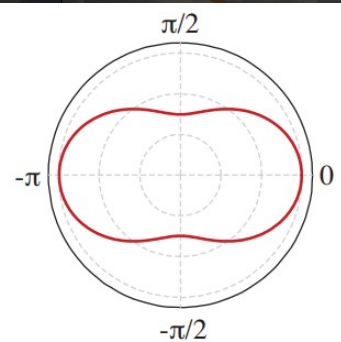
Mie Scattering,
larger particles



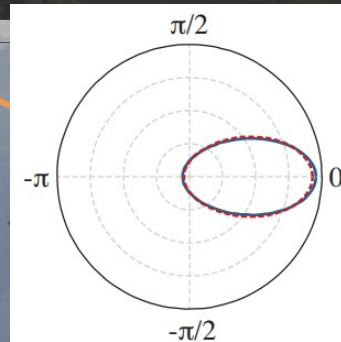
→ Direction of incident light

1. Calcular la distancia del rayo en base a la extinción hasta que se produzca un evento.
2. Calcular la nueva dirección del rayo en base a la función de fase aplicada.

```
rayleigh_scattering_prob = rayleigh_scattering / (rayleigh_scattering + aerosol_scattering);  
  
// Russian roulette  
if (random < rayleigh_scattering_prob)  
    return m_phase_function.get(); // P(molecular) = [0, rayleigh_scattering_prob)  
else  
    return m_aerosol_phase_function.get(); // P(aerosol) = [rayleigh_scattering_prob, 1)
```



Función de fase de Rayleigh

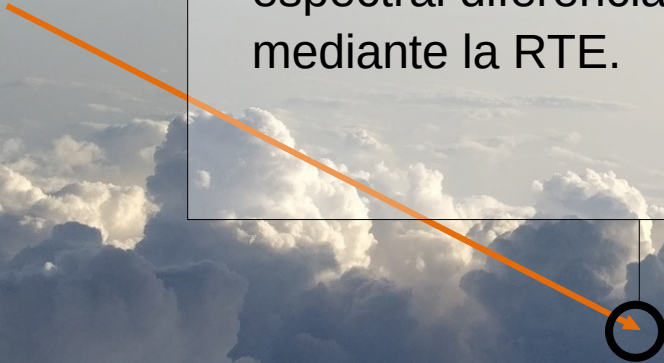


Función de fase de Henyey-Greenstein

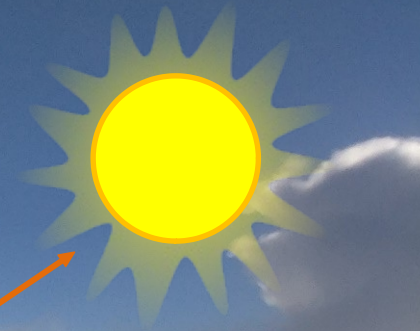
→ Direction of incident light



1. Calcular la distancia del rayo en base a la extinción hasta que se produzca un evento.
2. Calcular la nueva dirección del rayo en base a la función de fase aplicada.
3. Calcular la radiancia espectral diferencial mediante la RTE.

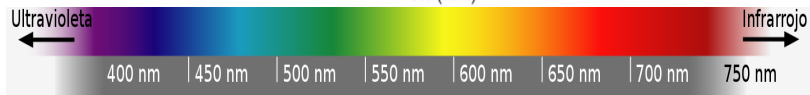
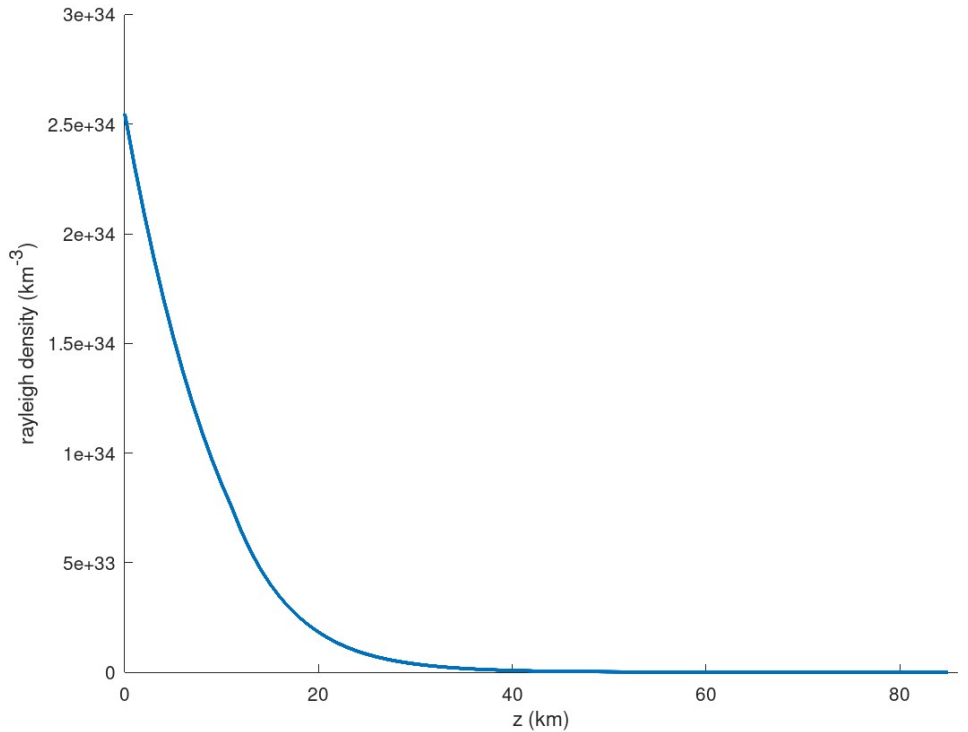
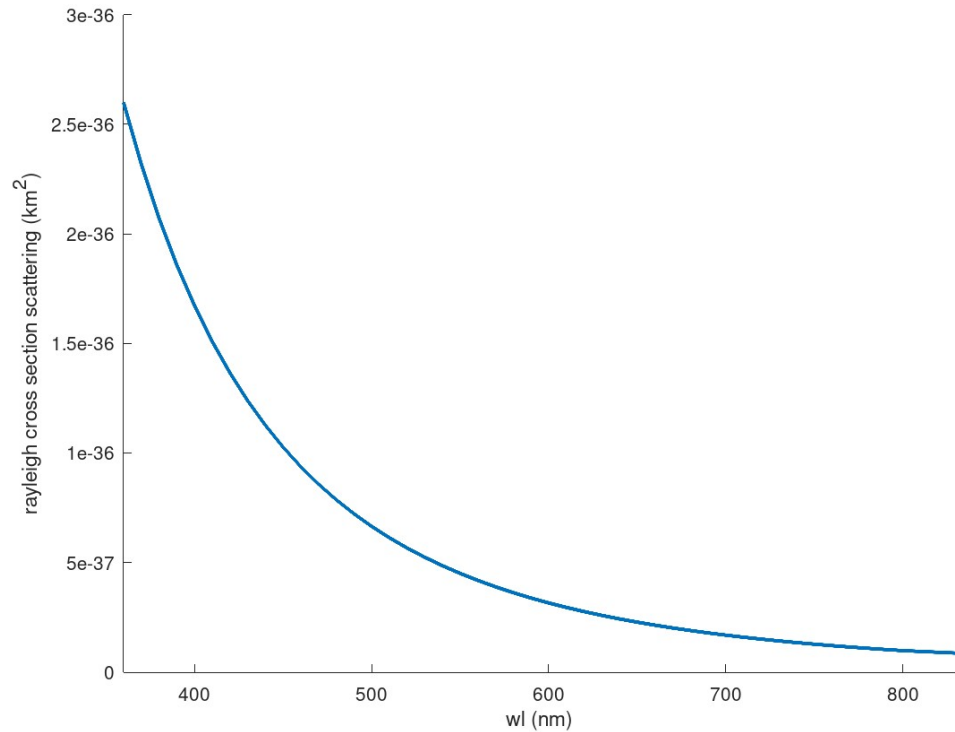


1. Calcular la distancia del rayo en base a la extinción hasta que se produzca un evento.
2. Calcular la nueva dirección del rayo en base a la función de fase aplicada.
3. Calcular la radiancia espectral diferencial mediante la RTE.
4. Repetir hasta encontrar una fuente de luz.

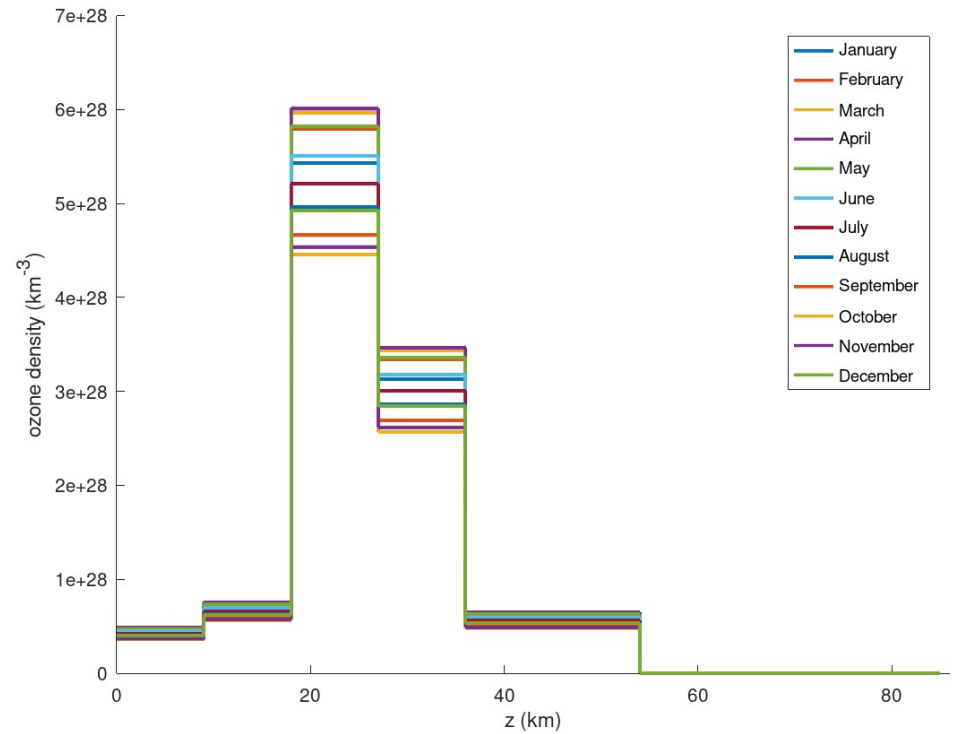
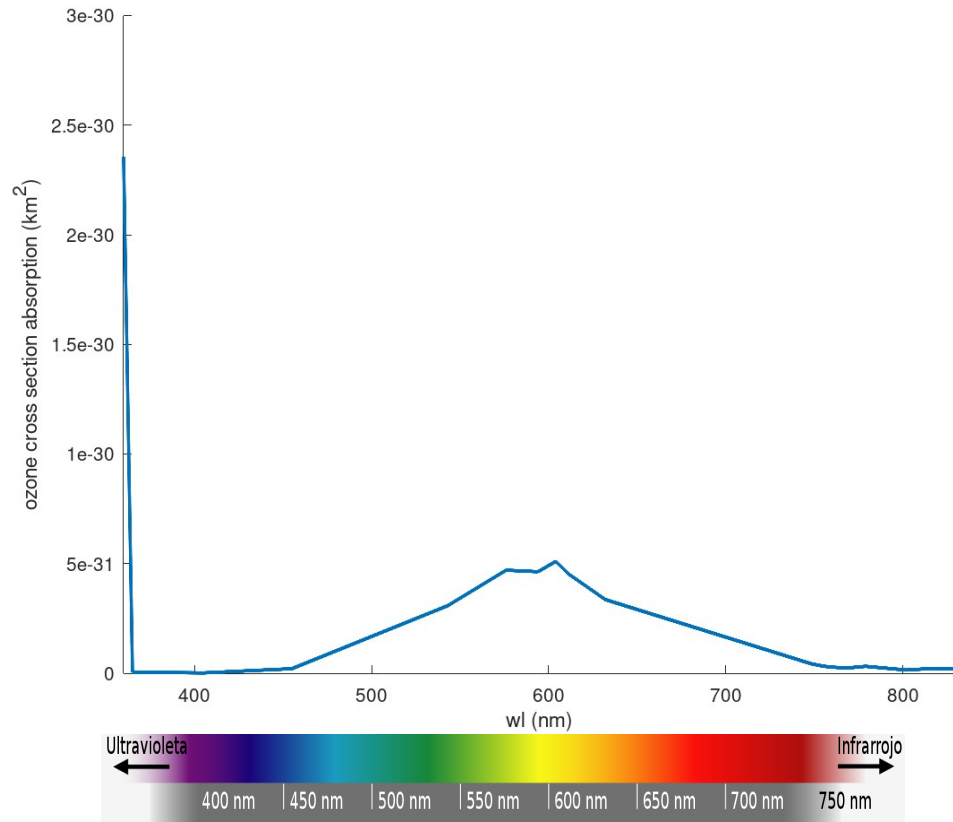


Análisis del modelo

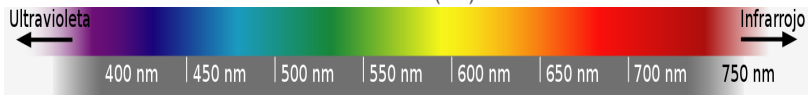
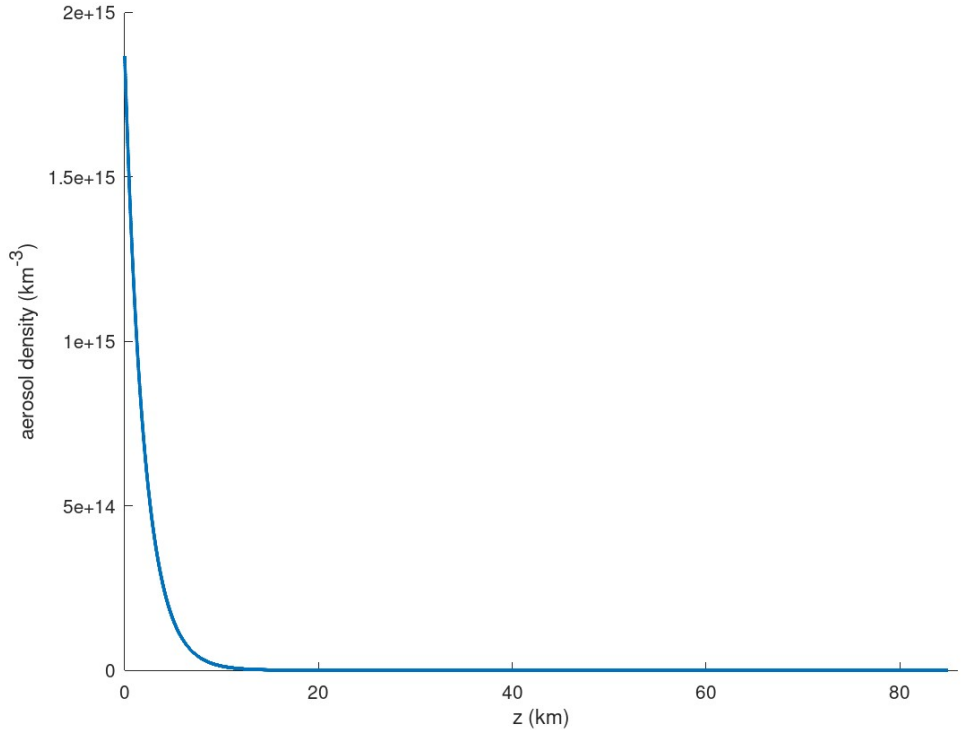
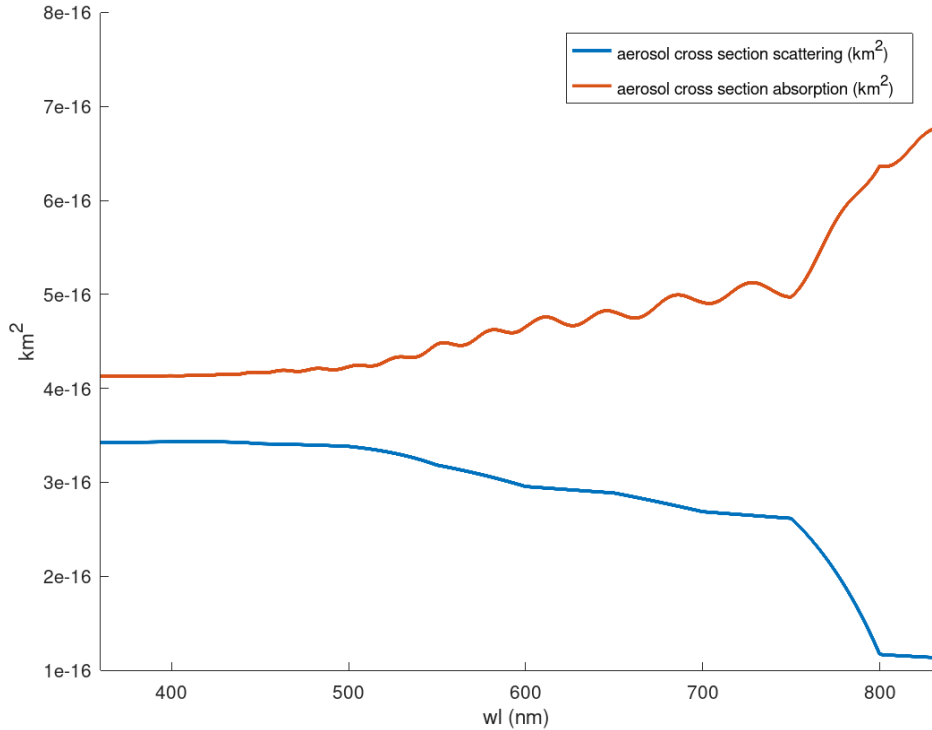
Rayleigh Scattering



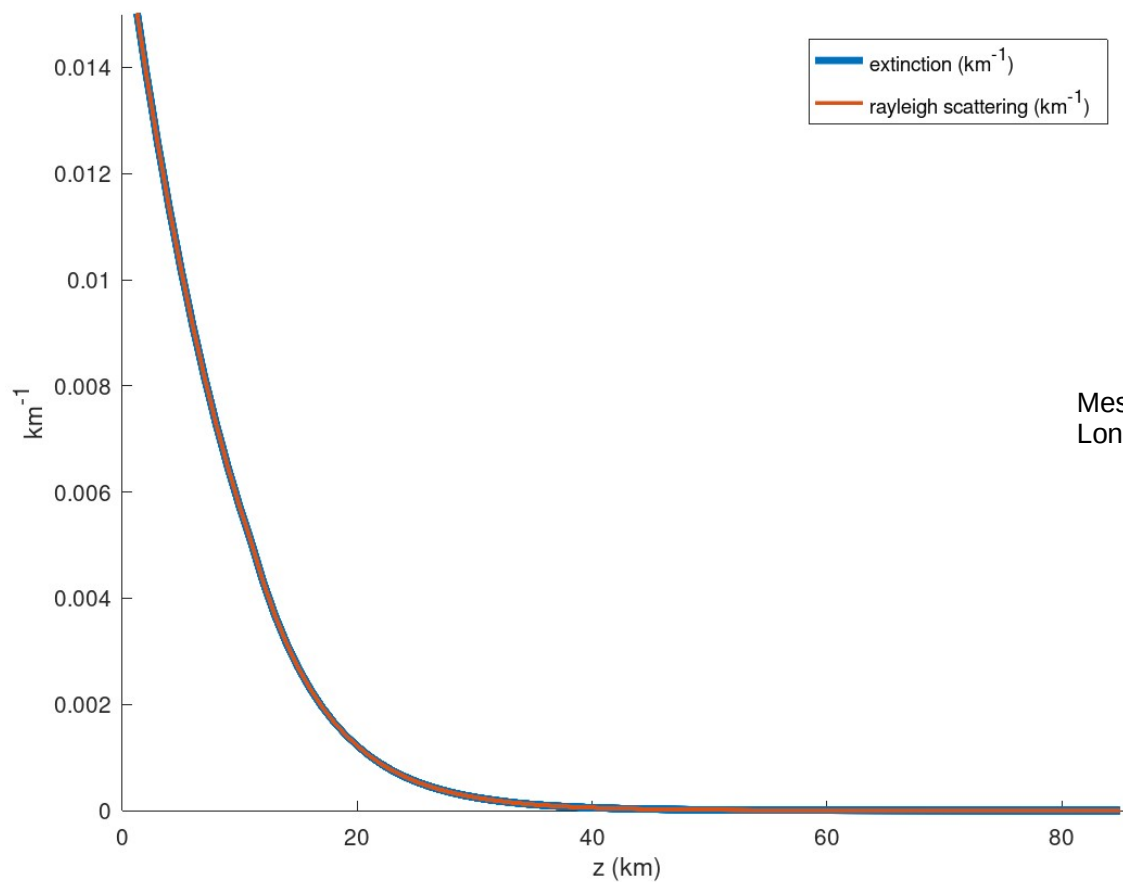
Absorción del ozono



Aerosol Desert-Dust

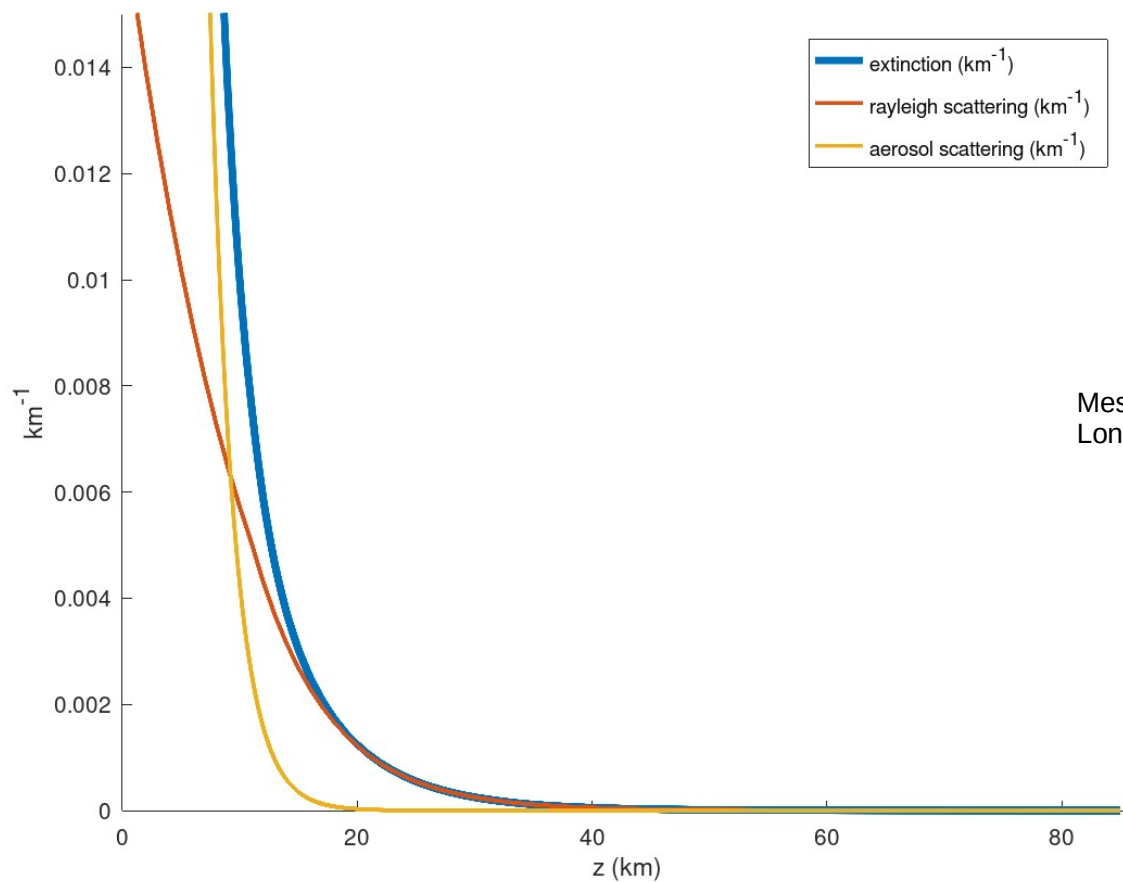


Rayleigh + Ozono + Desert-Dust



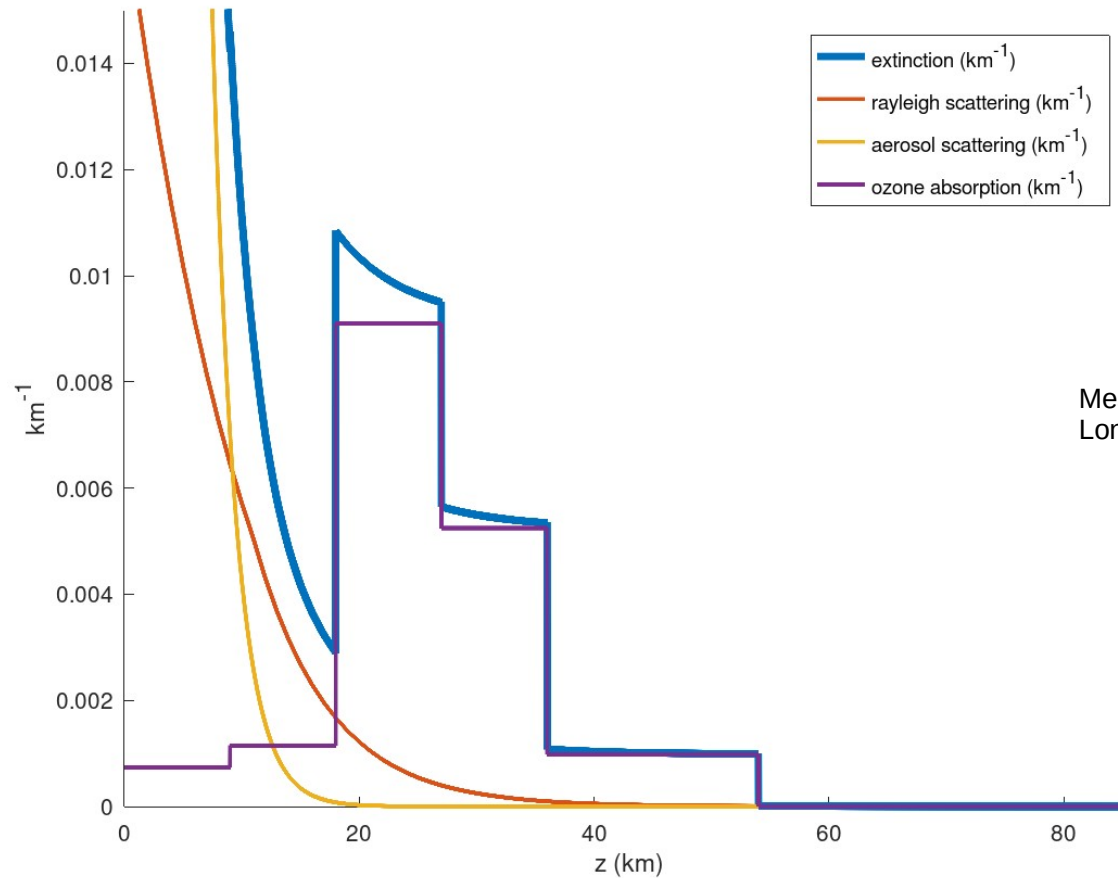
Mes: Enero
Longitud de onda: 500 nm

Rayleigh + Ozono + Desert-Dust



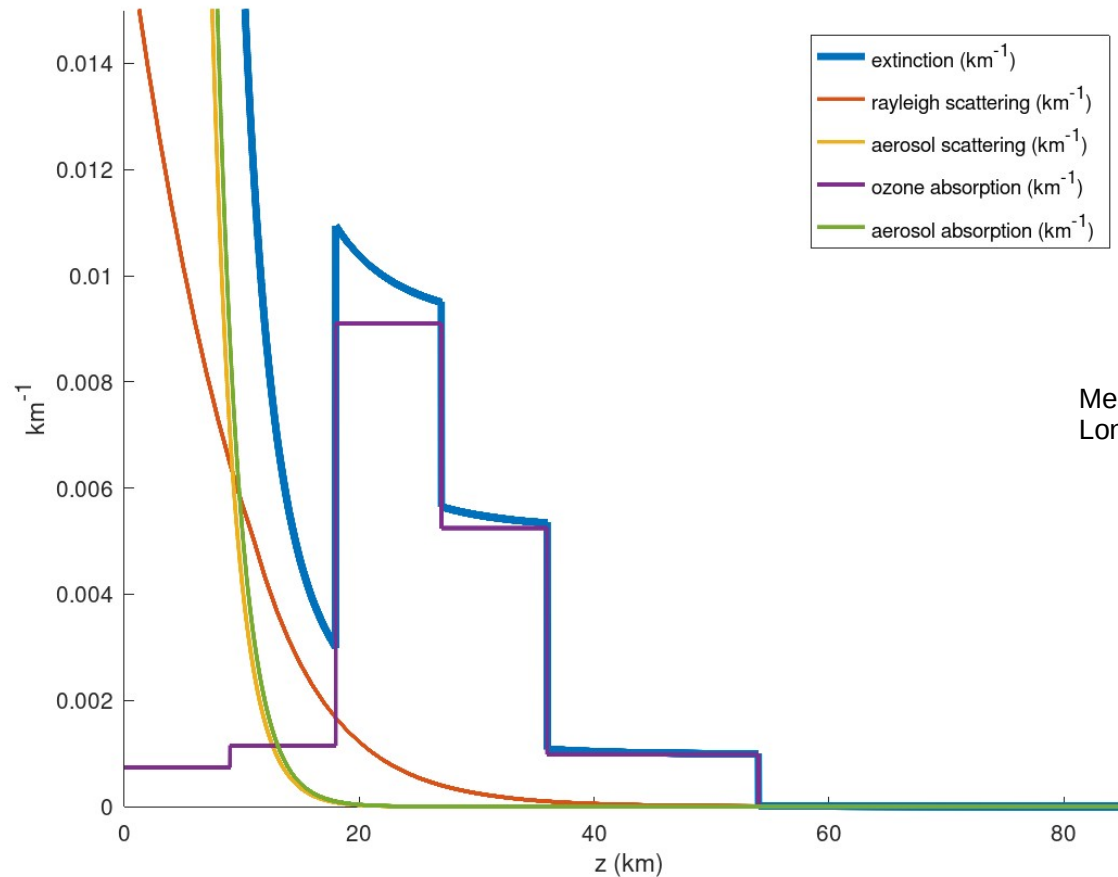
Mes: Enero
Longitud de onda: 500 nm

Rayleigh + Ozono + Desert-Dust



Mes: Enero
Longitud de onda: 500 nm

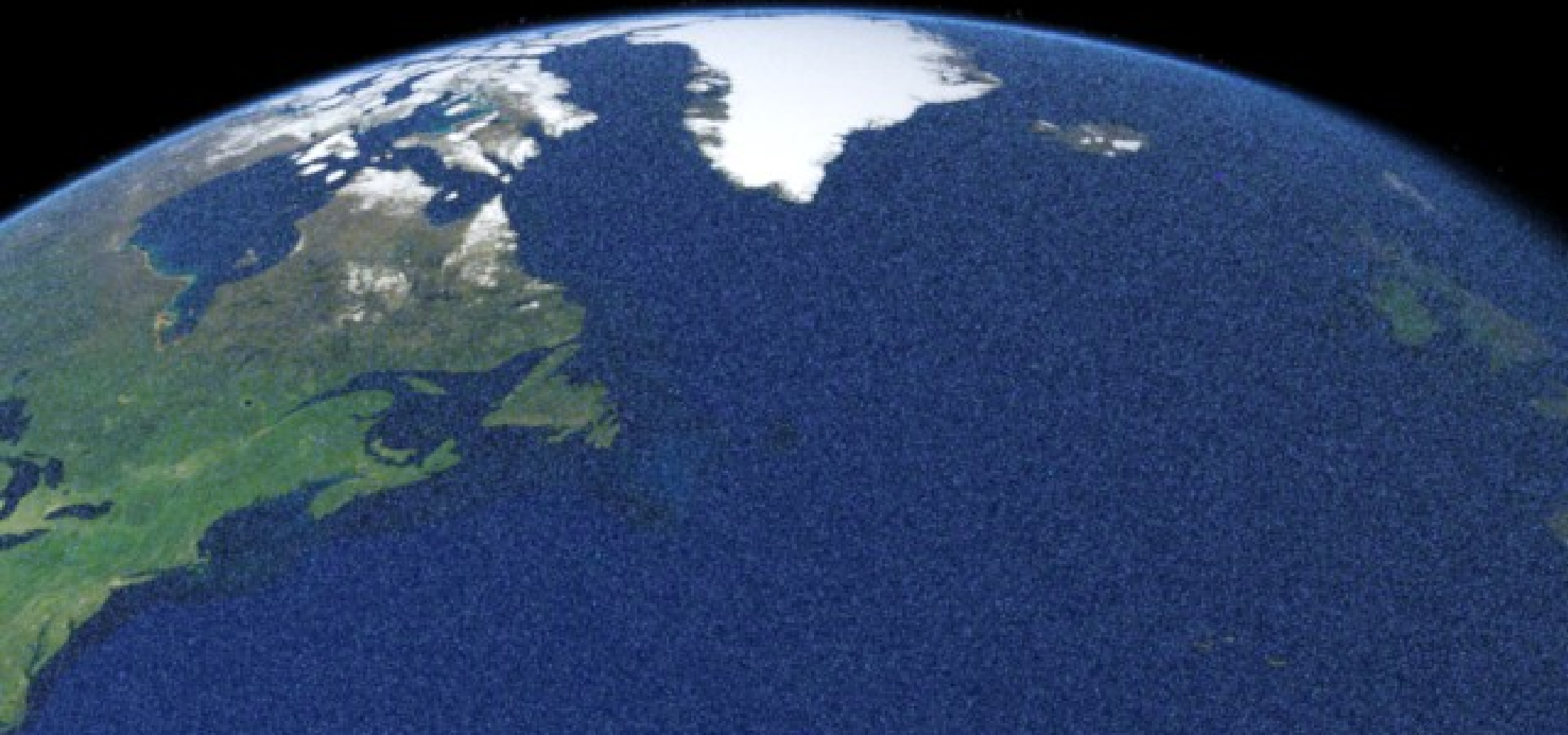
Rayleigh + Ozono + Desert-Dust



Mes: Enero
Longitud de onda: 500 nm

Resultados

Cámara: Pinhole
Modelo: Sin aerosoles
Mes: Enero



Cámara: Pinhole
Modelo: Sin aerosoles
Mes: Febrero
Sol: 90° sobre el horizonte



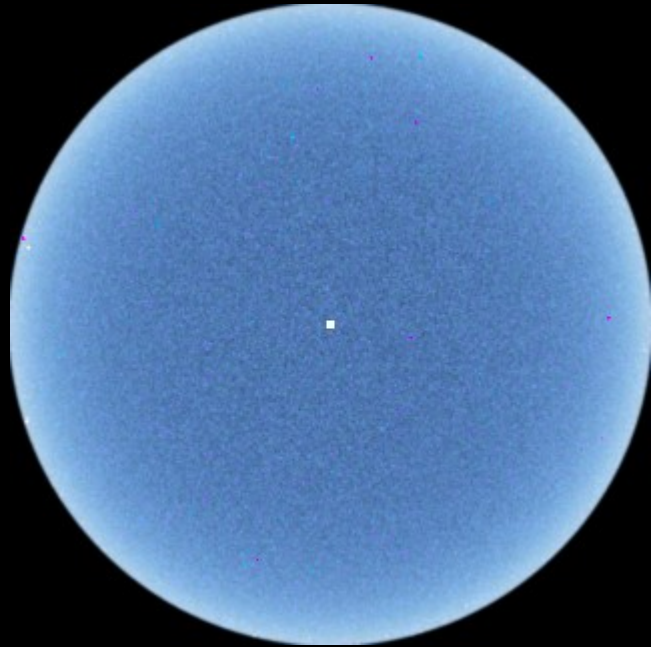
Cámara: Pinhole
Modelo: Sin aerosoles
Mes: Febrero
Sol: 180° sobre el horizonte



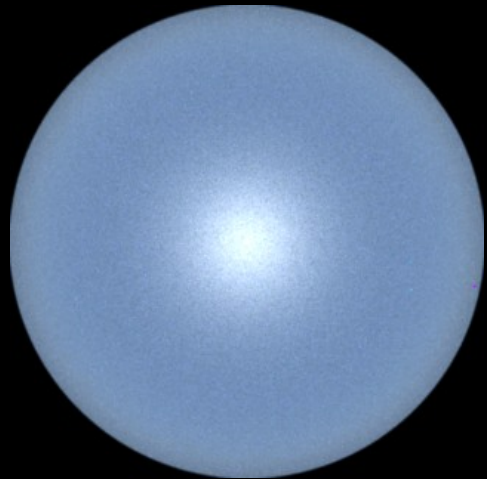
Cámara: Fisheye
Modelo: Desert-Dust
Mes: Enero
Turbicidad: Aumenta de izq. a
der.



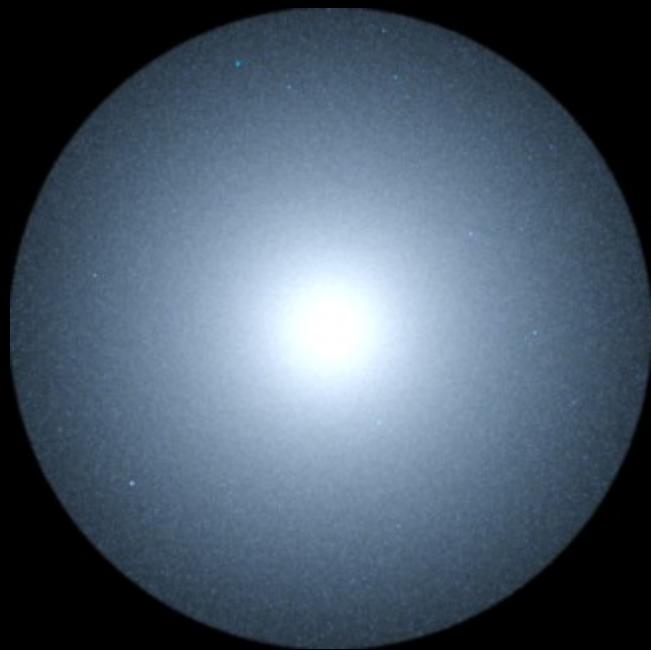
Cámara: Fisheye
Modelo: Sin aerosoles
Mes: Enero
Sol: 90°, 5° y -5° (izq. a der.)
sobre el horizonte



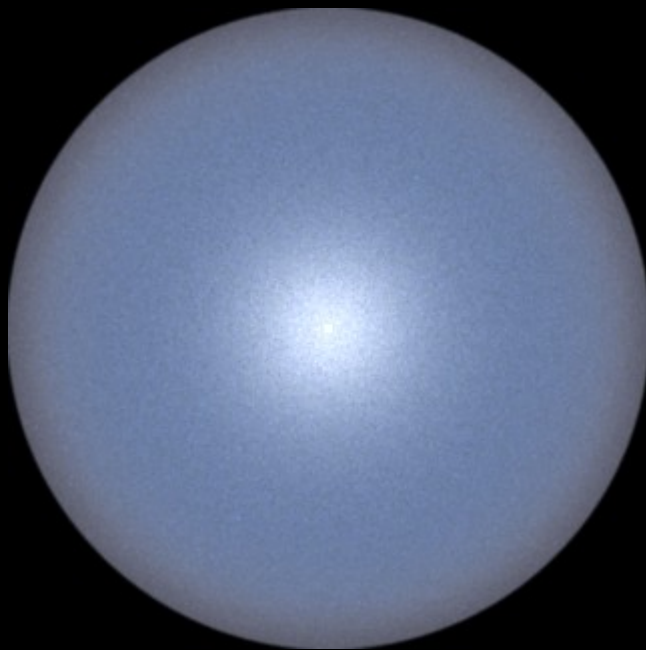
Cámara: Fisheye
Modelo: Desert-Dust
Mes: Enero
Sol: 90° sobre el horizonte
Turbicidad: Aumenta de izq. a
der.



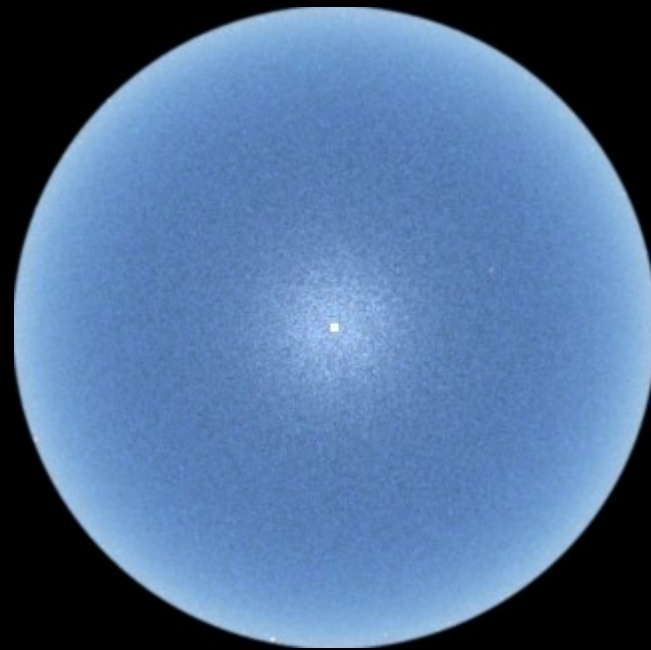
Cámara: Fisheye
Mes: Enero
Sol: 90° sobre el horizonte
Turbicidad: Media



• Desert-Dust



• Maritime-Mineral



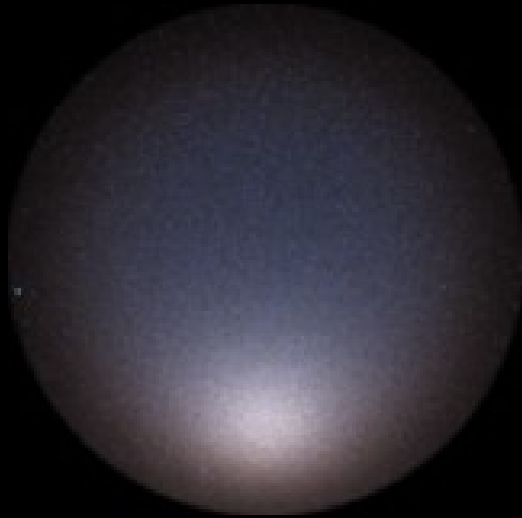
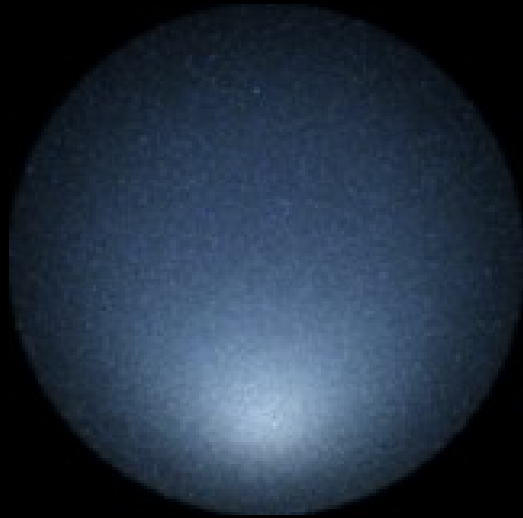
• Polar-Artic

Cámara: Fisheye
Sol: 30° sobre el horizonte
Turbicidad: Alta

• Enero



• Noviembre

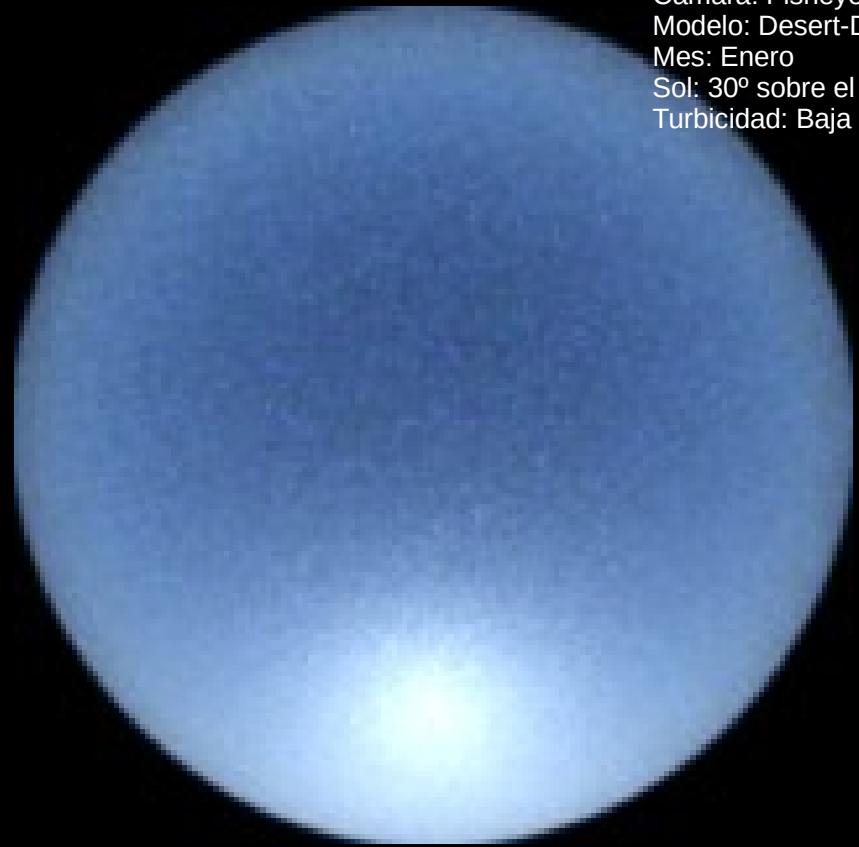


• Desert-Dust

• Maritime-Mineral

• Polar-Artic

Cámara: Fisheye
Modelo: Desert-Dust
Mes: Enero
Sol: 30° sobre el horizonte
Turbicidad: Baja



- Fotografía real de Hosek-Wilkie [12] (izq.) y render (der.)

Conclusiones

- Dificultad al comprender los modelos físicos por primera vez.
- Gran curva de aprendizaje inicial de Mitsuba 2.
- Ha sido realmente interesante implementar los modelos físicos sobre un proyecto open-source de rendering profesional.
- Satisfacción al obtener los resultados de manera visual.
- Posibilidad de extender el trabajo realizado a otros medios atmosféricos diferentes y añadir efectos atmosféricos como los arcoíris o las auroras boreales.

Gracias por la atención

